

**ЭКСПЕРИМЕНТАЛЬНОЕ ИССЛЕДОВАНИЕ ВЛИЯНИЯ
ПРИТУПЛЕНИЯ ПЕРЕДНЕЙ КРОМКИ ПЛОСКОЙ ПЛАСТИНЫ
НА РАЗВИТИЕ ТРЕХМЕРНЫХ ВОЛН
В СВЕРХЗВУКОВОМ ПОГРАНИЧНОМ СЛОЕ**

*A. D. Косинов, A. A. Маслов, C. Г. Шевельков
(Новосибирск)*

Притупление передней кромки модели влияет на положение перехода ламинарного пограничного слоя в турбулентный. Эксперименты показывают, что увеличение притупления затягивает переход и может вызвать реверс перехода. Обзор работ по этой проблеме можно найти, например, в [1]. В последнее время предприняты попытки теоретического исследования устойчивости сверхзвукового пограничного слоя на затупленных телах [2].

Из линейной теории устойчивости [1] известно, что в сверхзвуковом пограничном слое усиливаются собственные волны (типа волни Толлмина — Шлихтинга). В [3] впервые экспериментально обнаружены самовозбуждающиеся пульсации в сверхзвуковом пограничном слое на плоской пластине, а также оценены (с помощью искусственных возмущений) фазовые скорости их распространения. Величины экспериментально определенных фазовых скоростей при сравнении оказались близки теоретическим. Однако подобное сравнение не вполне обосновано, потому что экспериментально определенную в [3] фазовую скорость нельзя отнести к какой-либо плоской волне [4]. Эта фазовая скорость представляла собой некоторую «среднюю» величину по всем волновым числам.

Экспериментально поведение естественных возмущений в пограничном слое затупленной плоской пластины изучалось в [5, 6], но при исследовании естественных возмущений пока невозможно разделение пульсаций на плоские волны, и такие результаты можно рассматривать как качественные. В [4, 7] разработан метод локального контролируемого воздействия на пограничный слой, позволяющий детально изучать волновые процессы. В [4] метод применен на модели острой (толщина передней кромки $b < 0,01$ мм) пластины. Опыт показал, что на слегка притупленной пластине исследование проводить надежнее [8]. Полученные в [8] коэффициенты нарастания α_i и фазовые скорости волн вдоль потока c_x хорошо согласуются с расчетными по линейной теории устойчивости для волни Толлмина — Шлихтинга. В [8] сделана наиболее полная оценка спектра плоских волн в пограничном слое, порожденных источником. Показано, что для волн с небольшими углами наклона фронта к потоку χ (от 0 до $5-10^\circ$) в пространственных спектрах имеются звуковые волны одного порядка по амплитуде с вихревыми. Однако уже для $\chi > 35^\circ$ звуковыми волнами можно пренебречь по сравнению с собственными волнами пограничного слоя. Наличие звуковых волн в пограничном слое приводит к звучанию не только турбулентного, но и развитого ламинарного пограничного слоя [9].

Несмотря на особую актуальность исследования устойчивости течений в пограничном слое затупленных тел при больших скоростях (сверхзвуковых и особенно гиперзвуковых) [2], теоретическое изучение проблемы выполнено спустя тридцать лет после решения соответствующей задачи для идеально острых тел. Это связано с трудностью оценки влияния фактора затупления на физические процессы и недостатком экспериментальных фактов.

В данной работе экспериментально исследовано влияние притупления передней кромки плоской пластины на развитие волн в сверхзвуковом пограничном слое.

1. Эксперименты проводились в сверхзвуковой аэродинамической трубе ИТПМ СО АН СССР Т-325 [10] с размерами рабочей части 200×200 мм при числе Маха $M = 2,0$ и единичном числе Рейнольдса $Re_1 = 6,5 \cdot 10^6 \text{ м}^{-1}$.

В качестве модели использовалась плоская стальная пластина со склоненной по ширине под углом $14^\circ 30'$ передней кромкой. Длина пластины 450, ширина 200, толщина 10 мм. Модель крепилась горизонтально в центральной плоскости рабочей части аэродинамической трубы под нулевым углом атаки. Источник возмущений располагался внутри модели. Его основная часть — винт-электрод в керамической трубке, установленный перпендикулярно плоскости модели. В пограничный слой возмущения проникали через отверстие в поверхности пластины. Диаметр отверстия 0,5 мм. Координаты источника: $x = 17$ мм, $z = 0$ (x — продольная координата, отсчитываемая от передней кромки модели, а z — трансверсальная).

Возмущения в потоке регистрировались термоанемометром постоянного тока ТПТ-3. Использовались датчики с нитью из вольфрама диамет-

ром 6 мкм и длиной около 1,3 мм. Датчик перемещался по трем координатам: x , y , z (y — нормальная к плоскости пластины координата). Точность измерения координат по осям x и z 0,1 мм. Шаг измерений по x 5 мм, по z от 0,2 до 0,5 мм. При движении датчика по координатам x и z напряжение в диагонали моста термоанемометра поддерживалось постоянным (это достигалось перемещением датчика по координате y), что приближенно соответствует измерениям по линии равной скорости при $y/\delta = \text{const}$ (δ — толщина пограничного слоя).

В качестве частотного фильтра использовался селективный усилитель У2-8. Амплитуда пульсаций в узкой полосе регистрировалась среднеквадратичным вольтметром, встроенным в У2-8. Для определения фазы исследуемого сигнала относительно источника возмущений применяли двухлучевой осциллограф С1-17, синхронизированный от горящего разряда.

Обработка результатов измерений состояла из оценки амплитудно-фазовых спектров Фурье по β (волновому числу в z -направлении). Распределения амплитуды по координате z принимали нулевые значения на концах интервалов, что позволяло при интегрировании переходить к конечным пределам. Оценка амплитудных спектров по α_r (волновому числу по продольной координате) производилась аналогично [8].

Угол наклона фронта волны к потоку определяли по формуле $\chi = \pm \arctg(\beta/\alpha_r)$, а фазовую скорость возмущений в направлении x — по $c_x = 2\pi f/\alpha_r U$, где f — частота возмущений; U — скорость набегающего потока.

Для волны Толлмина—Шлихтинга проводилась оценка коэффициентов пространственного роста [3]

$$-\alpha_i(\text{Re}, \beta) = 0,5\partial \ln[\langle m \rangle(\text{Re}, \beta)]/\partial \text{Re},$$

где $\text{Re} = (\text{Re}_1 x)^{1/2}$ и $\langle m \rangle(\text{Re}, \beta)$ — амплитудные спектры пульсаций массового расхода. Применялся метод наименьших квадратов. Аппроксимация осуществлялась полиномом второй степени. Более подробно использованная методика описана в [8].

2. Исследование влияния радиуса притупления передней кромки пластины на волновые характеристики трехмерных возмущений проводилось на частоте 20 кГц, что соответствует безразмерному частотному параметру $F = 0,375 \cdot 10^{-4}$, где $F = 2\pi f/\text{Re}_1 U$. Датчик термоанемометра чувствителен к пульсациям массового расхода $\langle m \rangle$ и температуры торможения $\langle T_0 \rangle$. Разделение этих пульсаций возможно, если выполнить измерения при нескольких значениях температуры нити датчика T_w [11, 12]. Использованная в работе термоанемометрическая аппаратура позволяла это сделать. На рис. 1 приведены результаты обработки диаграмм пульсаций, полученных в пограничном слое для естественных и вынужденных (точки 1, 2) возмущений в районе максимума пульсаций при $f = 20$ кГц и $x = 65$ мм ($\text{Re} = 650$) на модели пластины с $b = 0,07$ мм. Здесь $r^0 = Q/G$, Q — чувствительность датчика к пульсациям массового расхода, а G — чувствительность к пульсациям температуры торможения. По оси ординат отложены значения суммарных пульсаций $\vartheta = \langle e \rangle/G$, где $\langle e \rangle$ — среднеквадратичная величина выходного сигнала термоанемометра. Данные хорошо аппроксимируются прямыми линиями,

и, согласно [12], уравнение диаграмм пульсаций можно записать в виде $\vartheta = \langle m \rangle r^0 + \langle T_0 \rangle$. Тогда величина пульсаций массового расхода определяется как $\langle m \rangle = |\partial \vartheta / \partial r^0|$, пульсаций температуры торможения — как $\langle T_0 \rangle = \vartheta(0)$. Из приведенных результатов для естественных пульсаций $\langle m \rangle = 0,031\%$, $\langle T_0 \rangle = 0,004\%$, для вынужденных возмущений $\langle m \rangle = 0,152\%$, $\langle T_0 \rangle = 0,26\%$.

Измерения характеристик устойчивости проводились при перегреве $a_w \geqslant 0,6$ или (с учетом конкретных условий работы уста-

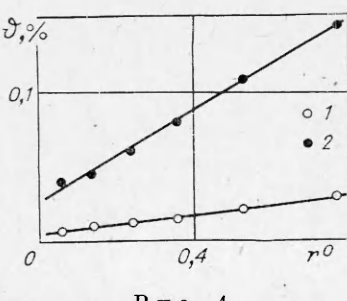


Рис. 1

новки, т. е. Re_1 и M) при $Q \geq G$, тогда для естественных возмущений для пульсаций массового расхода в сигнале термоанемометра $>90\%$, для вынужденных $>85\%$.

3. После включения электрического разряда происходило возбуждение пограничного слоя. При этом вниз по потоку от источника в пограничном слое развивался пространственный волновой пакет возмущений, превышающих естественные возмущения в 5–8 раз. Относительно плоскости $z = 0$, проходящей через центр источника, для всех измерений пакет практически симметричен. С увеличением Re волновой пакет расплывался для всех притуплений передней кромки пластины. Граница расплывания пакета имела волнистый характер, особенно сильно выраженный при $b = 0,21$ и $0,35$ мм, а ширина пакета различна для всех b . В исследованном диапазоне координат ($50 \text{ mm} \leq x \leq 80 \text{ mm}$) угол расплывания волнового пакета θ близок к 12° и не зависел от b . Теоретические оценки θ для пластины с острой передней кромкой, проведенные автором [13], дают $13,6^\circ$.

Так как увеличение b приводит к заметным изменениям среднего течения около модели, при выборе слоя измерений ($y/\delta = \text{const}$) возникали некоторые особенности. Для измерений находился максимум амплитуды пульсаций по y . При $b \leq 0,15$ мм в пограничном слое ($Re = 650$) имелся один максимум пульсаций, для $b = 0,21$ и $0,35$ мм — два сравнимых по величине максимума. Выбор производился в пользу внутреннего максимума из-за большей его чувствительности (в 2–3 раза по сравнению с внешним) к искусственным возмущениям. Природа внешнего максимума и его роль в данной работе не исследовались.

Амплитудные и фазовые спектры возмущений, полученные после фурье-преобразования данных амплитуды и фазы сигнала по координатам x и z , в целом аналогичны приведенным в [4, 8]. Для $\beta \sim 1 \text{ rad/mm}$ в амплитудных спектрах по β наблюдался максимум, который при увеличении Re смешался в сторону меньших β . Проведенные оценки амплитудных спектров по α_r при $b = 0,01; 0,07; 0,15; 0,21; 0,35$ мм показали, что для $\beta \geq 0,3—0,4 \text{ rad/mm}$ спектры в основном несут информацию о волне с одним α_r . Для β от 0 до $0,1 \text{ rad/mm}$ в спектрах имелись также пики с разными α_r , уже сравнимые по амплитуде друг с другом. Этот результат аналогичен [8].

На рис. 2 представлены значения фазовой скорости, соответствующие наибольшему пику в спектрах по α_r в зависимости от b , определенных при $Re = 650$ (точки 1–3 относятся к волнам с $\chi = 70, 57, 41^\circ$). Видно, что с увеличением b фазовая скорость уменьшается слабо. В диапазоне χ от 35 до 75° поведение c_x аналогично. Величина c_x хорошо совпадает с теоретической для волн Толлмина—Шлихтинга [4, 8]. Это дает основание сопоставить результаты по развитию плоских волн с одним χ для различных b .

На рис. 3 показаны кривые нарастания возмущений (пульсаций массового расхода) для $\chi = 65^\circ$ при $b = 0,01; 0,07; 0,15; 0,21; 0,35$ мм (точки 1–5). Результаты нормированы на значение в первой измеренной точке. Наиболее быстрый рост амплитуды с увеличением Re соответствует $b = 0,01$ мм.

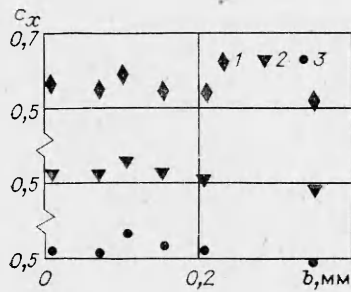


Рис. 2

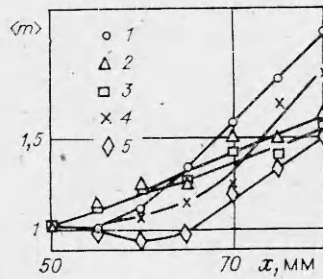


Рис. 3

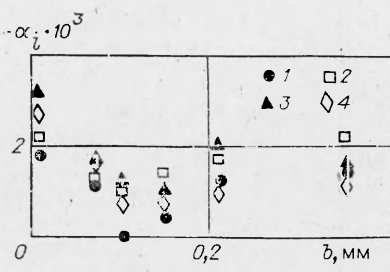


Рис. 4

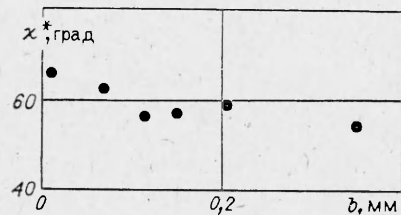


Рис. 5

Для сравнения с расчетами удобнее рассматривать скорости роста плоских волн. На рис. 4 приведены α_i (волны Толлмина — Шлихтинга) в зависимости от b , где 1—4 — возмущения с $\chi = 41, 51, 65, 70^\circ$ ($Re = 650$). Наблюдается немонотонный характер изменения значений α_i от b с минимумом для b от 0,1 до 0,15. Для $\chi = 70^\circ$ этот минимум выражен меньше. Подобный реверс значений α_i может приводить в конечном итоге к реверсу перехода, что наблюдалось в некоторых работах. Следуя [2], причину «реверса» можно объяснить дополнительным влиянием энтропийного слоя на пограничный слой при увеличении затупления передней кромки модели, но этот вопрос требует специального исследования.

На рис. 5 показано изменение угла максимально неустойчивых возмущений χ^* от b . Значение χ^* уменьшается при увеличении затупления передней кромки, причем наиболее сильное влияние затупления наблюдается для $b \leq 0,1$ мм.

ЛИТЕРАТУРА

- Гапонов С. А., Маслов А. А. Развитие возмущений в сжимаемых потоках.— Новосибирск: Наука, 1980.
- Khan M. M. S., Reshotko E. Stability of the laminar boundary layer on a blunted plate in supersonic flow.— S. 1., 1980.— (FTAS/TR — 79—142).
- Laufer J., Vrebalovich T. Stability and transition of a laminar boundary layer on an insulated flat plate // J. Fluid Mech.— 1960.— V. 9, pt 2.
- Косинов А. Д., Маслов А. А. Развитие искусственно вызванных возмущений в сверхзвуковом пограничном слое // Изв. АН СССР. МЖГ.— 1984.— № 5.
- Kendall J. M. Supersonic boundary layer transition studies // JPL Space Programs Summary 37—62.— 1970.— V. 3.
- Лебига В. А., Маслов А. А., Приданов В. Г. Экспериментальное исследование устойчивости сверхзвукового пограничного слоя плоской пластины с притуплением передней кромки // Изв. АН СССР. МЖГ.— 1977.— № 4.
- Гилев В. М., Качанов Ю. С., Козлов В. В. Развитие пространственного волнового пакета в пограничном слое // Изв. СО АН СССР. Сер. техн. наук.— 1983.— Вып. 3.
- Косинов А. Д., Маслов А. А., Шевельков С. Г. Развитие пространственных волновых пакетов в сверхзвуковом пограничном слое.— Новосибирск, 1985.— (Препринт/ИТПМ СО АН СССР; № 17—85).
- Косинов А. Д., Маслов А. А., Семенов Н. В. Методы введения искусственных возмущений в сверхзвуковой поток.— Новосибирск, 1983.— (Ирепринт/ИТПМ СО АН СССР; № 34—83).
- Багаев Г. И., Лебига В. А., Приданов В. Г., Черных В. В. Сверхзвуковая аэродинамическая труба Т-325 с пониженной степенью турбулентности // Аэрофизические исследования.— Новосибирск: ИТПМ СО АН СССР, 1972.
- Kovasznay L. S. G. Turbulence in supersonic flow // JAS.— 1953.— V. 20, N 10.
- Лебига В. А. Вопросы измерения характеристик турбулентности сжимаемых течений // Методика и техника аэрофизических исследований.— Новосибирск: ИТПМ СО АН СССР, 1978.
- Тумин А. М. Численный анализ характеристик пакета волни Толлмина — Шлихтинга в пограничном слое на плоской пластине // Учен. зап. ЦАГИ.— 1984.— Т. XV, № 2.

Поступила 31/I 1986 г.